arXiv:2512.20688v1 [cs.GT] 22 Dec 2025

基于机制的智能（MBI）：面向多智能体系统的可微激励，实现理性协调与保证对齐

Stefano Grassi

2025-11-30

摘要

自主多智能体系统从根本上说十分脆弱：它们难以解决哈耶克式信息问题（获取分散的私人知识）和赫维茨式激励问题（使局部行动与全局目标保持一致），因而协调在计算上难以处理。本文提出基于机制的智能（MBI），这一范式将智能重新构想为多个“大脑”协调所产生的涌现结果，而非单一大脑的产物。其核心是可微价格机制（DPM），它将恰当的损失梯度计算为动态的、VCG 等价激励信号，

$$\mathbf{G}_i = -\frac{\partial \mathcal{L}}{\partial \mathbf{x}_i}$$

从而保证占优策略激励相容性（DSIC），并收敛至全局最优解。贝叶斯扩展则确保信息不对称条件下的激励相容性（BIC）。该框架可随智能体数量线性扩展（$\mathcal{O}(N)$），避开分散式部分可观测马尔可夫决策过程的组合复杂性；实证结果表明，它比无模型强化学习快 $50\times$ 倍。通过在结构上使智能体的自身利益与集体目标保持一致，该框架基于经济学原理，为协调、可信且可扩展的多智能体智能提供了一种经理论证明高效、可审计且可泛化的方法。

1 引言

智能是一个长期以来备受争论的概念，其渊源可追溯至亚里士多德。自 20 世纪 50 年代人工智能（AI）诞生以来，人们对智能的定义涵盖了从解决问题、实现目标，到从数据中学习并适应新环境等多个方面。总体而言，这些观点分为两大阵营：一方致力于复制人类认知（联结主义阵营），另一方则旨在构建一种更抽象、更理性的智能形式。

深度学习的兴起推动该领域转向追求人类水平的认知能力和通用人工智能（AGI）。如今，这一趋势体现在人工智能智能体和多

智能体系统上，这些系统专为需要推理、长时程规划和协作的分层多步骤任务而设计。大语言模型（LLM）正是这一范式的典型代表。它们作为“黑箱”智能体，严重依赖模式相关性，往往以记忆替代真正的因果理解（Marcus，2018年）。

诸如 LeCun 的层级联合嵌入预测架构（H-JEPA）等替代性认知架构，旨在构建预测性“世界模型”，即能够学习环境紧凑且层级化表征的集中式系统。然而，这些框架建立在这样一种假设之上：单一、统一的认知结构能够获取并处理所有相关信息。这种方法试图通过集中化来解决一个从根本上属于去中心化的信息聚合问题，从而产生了两项结构性局限：

1. 哈耶克式信息问题（哈耶克，1945年）：集中式预测模型无法获取由去中心化参与者（人类、传感器、子智能体）掌握的分散、默会且依赖语境的知识。正如 Polanyi 所指出的：“我们知道的比我们能够说出的更多”（Polanyi，1966年）。这类默会知识对于实现最优局部行动至关重要，却无法仅通过观察或后台学习得到完整捕捉。
2. 赫维茨式激励问题（Hurwicz，1972年）：认知架构没有提供相应机制，无法确保自主智能体在依据其享有特权的局部知识行动时，仍与全局目标保持一致。机制设计中的经典结果表明，如果没有明确的激励相容约束（Arrow，1951年；Gibbard，1973年；Myerson，1979年；Satterthwaite，1975年），要实现全局最优且不可操纵的集体结果往往在数学上是不可能的。缺少此类约束时，智能体会自然地将局部效率（例如，降低计算量）置于系统整体目标之上，从而导致协调、可靠性和可控性方面的失败。

这些局限反映了现实世界中的制度所面临的挑战。国家和组织实际上是由具有不同偏好、信息和约束的自主智能体构成的大型“脑”。在这类环境中，智能并非源自单一的认知中心，而是涌现于智能体之间的协调与激励之中——这正是联结主义方法试图在一个统一的“脑”中复现的过程。这要求我们转变对人工智能的认识：从“机器能像人类一样思考吗？”转向“机器如何才能在结构化的多智能体环境中，围绕总体目标协调一致地采取最优行动？”

为应对这一挑战，本文提出了基于机制的智能（*MBI*）框架。在这一观点下，智能并非源于认知，而是源于自主过程之间的理性协调。MBI 借鉴了基础经济学原理：Hurwicz 的机制设计用于确保目标对齐（Hurwicz & Reiter, 2006），冯·诺依曼–摩根斯坦效用理论用于描述不确定性下的理性决策（VonNeumann & Mor-genstern, 1944），而西蒙满意化理论则用于建模有限理性和经济效率（Simon, 1947, 1955）。在 MBI 中，系统的目标由规划者定义，并表示为可微有向无环图（D-DAG）。各个智能体具有理性，但受计算能力限制，是效用最大化者。基于梯度的反馈机制会计算可微价格机制（*DPM*），作为动态且信息丰富的纠正信号，引导每个智能体走向全局最优解。该机制以解析方式使每个智能体的局部效用最大化与全局目标保持一致，从而保证对齐，并涌现出集体智能。

2 认知—经济分野

2.1 认知范式及其局限

人工智能的认知范式旨在模拟人类思维，追求近乎“神一般”的知识获取能力。其源头可追溯至 McCulloch 和 Pitts 提出的人工神经网络（1943）。随着硬件成本降低、数据量激增以及机器学习（ML）领域的创新，这一方法逐渐占据主导地位，其发展动力来自实现通用人工智能（AGI）的雄心。

然而，即便在人工智能领域，将通用人工智能视为一个单一、集中的“头脑”这一观点也受到质疑。北野宏明在机器人世界杯挑战赛中的研究等开创性工作（1998）指出，现实世界的复杂性和规模要求采用基于大规模并行、冗余和去中心化自组织的架构（Kitano & Hendler, 1994）。这一批评凸显了多智能体环境中集中式知识聚合的结构性局限。

2.2 自回归的脆弱性

自回归大语言模型是认知范式的核心。这些模型根据先前的词元预测下一个词元，实质上是在复现恒等函数。尽管它们展现出复杂模式匹配等涌现能力，但其自回归特性给长时程规划和多步决策带来了严峻挑战（Berti, Giorgi, & Kasneci, 2025年）。局部奖励优化可能导致欺骗性规划、操纵性策略或奖励黑客行为等不良行为，直接体现了赫维茨式激励问题。这凸显了对齐与安全的重要性。

自回归模型中连贯性的逐步丧失，可以比作一列驶入大型车站的火车。起初，它沿着单一轨道行驶；但随着不断前进，铁轨分岔为许多可能的路线。每个预测词元都会略微改变行进轨迹，而这些微小且彼此独立的偏移会逐渐累积。不同于能够以最优方式校正自身状态的卡尔曼滤波器，大型语言模型没有全局校正机制。词元生成是对连贯性进行局部优化，这类似于变分推断中的证据下界（ELBO）。在长序列中，这些局部近似会产生近似漂移。

假设词元错误均匀且相互独立，那么在 n 个词元中保持完全连贯的概率会呈指数衰减：$P(\text{连贯性}) = (1-e)^n$ （LeCun, 2023）。一些研究对这一模型进行了细化，指出错误会集中在代表关键决策点的稀疏“关键词元”上（Arbuzov、Shvets 和 Bei, 2025年）。失败集中发生在高影响力步骤上，会放大结构性风险。针对大型推理模型的实证研究证实了这种不稳定性：当组合复杂度超过某些阈值时，准确率会崩溃，推理结果也会不一致——即使模型生成了明确的思维轨迹（Shojaee* 等, 2025年）。这表明，自回归建模在结构上受限于关键的长期决策。

2.3 世界模拟的负担

为减少序贯误差，更复杂的架构会构建集中式的预测型“世界模型”。LeCun 的 H-JEPA 是一个典型范例，它通过学习抽象的、层次化的多模态表示来应对环境不确定性（LeCun, 2022）。

然而，即便是 H-JEPA，也假设单个系统能够获取模拟环境所需的全部知识。这种集中化在多智能体协同和可靠性方面带来了关键局限：

- 表征近似与隐式错位：H-JEPA 优化潜在表征 z，以降低内能并满足架构约束。由此产生的模拟是对环境的近似，而非对其真实状态的直接访问。内部优化可能更偏向模型一致性或代理目标，而非外部有效性。随着系统规模扩大，错位可能加剧，这反映了哈耶克式信息问题，也呼应了赫维茨式激励问题：局部优化会偏离全局目标。

- 规划约束与有限理性（BR）：即使潜在模型准确，在高维潜在空间中寻找最优行动在计算上仍然难以实现（Finn 和 Levine，2017）。基于梯度的优化往往会失败，因此不得不依赖蒙特卡洛树搜索（MCTS）或动态规划（DP）等穷举方法。这体现了赫伯特·西蒙提出的有限理性概念（Simon，1957）：智能体无法计算出真正的最优解，只能满足于满意解。在现实世界的复杂性面前，全局最优性可能会崩溃。

这些挑战促使我们进行范式转变。

2.4 经济学范式：分布式协调与机制设计

集中式认知模型的失败，以通用问题求解器（GPS）为代表（Newell、Shaw 和 Simon，1959），具体表现为知识聚合问题和规划的计算难解性，这与资源分配这一经典经济学挑战如出一辙。这一视角将智能重新界定为：智能并非单个智能体进行最大化计算，而是众多有限理性智能体之间实现最优协调。

弗里德里希·哈耶克的知识问题指出，复杂规划所需的关键信息——局部条件、偏好和默会知识——分散各处，若将其集中起来，信息保真度就会灾难性地下降（哈耶克，1945年）。集中式人工智能模型试图解决一个计算上难以处理的问题，而经济系统早已通过去中心化应对这一问题——这场争论始于亚当·斯密（斯密，1776）。

经济学的解决方案是一种机制：一套规则和激励，使局部的、自利的行动与全局目标相一致。在市场中，价格体系充当高效的协调协议，引导决策，而无需任何智能体掌握完整的全局知识。这也解决了最佳响应问题：由许多智能体分别进行局部且易于处理的优化，而非由一个智能体进行难以处理的全局搜索。

应用于人工智能时，这一范式表明，可以通过外部强制执行来克服大语言模型等认知模型中的近似漂移和结构不稳定性。基于机制的智能（*MBI*）践行了这一原则。

专业化的最佳响应智能体（例如大语言模型驱动的规划器、符号数学检查器或代码解释器）在一个元机制（“规划者”）下运行。该机制管理交互和资源分配，确保累积的局部输出符合全局一致性和长时程目标。

智能通过机制的设计涌现，为认知架构提供通常所缺乏的全局校正。

2.5 经济学习：机制、激励与协调

以往分布式人工智能（DAI）和多智能体系统（MAS）中的方法未能保证稳健协调（Stone,2000；Weiss,2000）：

- 基于协议的协调：预定义协议和固定的通信结构（例如，合同网协议、组织结构）较为脆弱，在出现意外情境或协议与实时局部信息发生冲突时便会失效（哈耶克问题）。

- 近似学习与试错对齐：机器学习或强化学习（RL）可以近似最优的集体行为，但缺乏激励相容性（IC）的形式化保证，使系统容易受到局部优化偏移的影响（赫维茨问题）。这种对试错的依赖，是“奖励已足够”假说（Silver, Singh, Precup, & Sutton, 2021）及类似目标最大化方法（Levine, 2021）的基础。

经济理论提供了一种更稳健的替代方案：通过搜索、协商和协作，将精心设计的激励内化到智能体行为中。自动化机制设计（AMD）（Conitzer & Sandholm，2003年；Maskin & Sjöström，2002年）和可微经济学（DE）（Dütting、Feng、Narasimhan、Parkes 和 Ravindranath，2022年）将这一原则付诸实践。MBI 通过从可微损失梯度中解析推导激励信号（G_i），进一步发展了这些理念。这既能保证激励相容性，又能最大限度地减少协调摩擦，无需反复试错，而是依循理性经济系统和集体智能的原则。

3 理性经济系统与集体智能的原则

理性经济系统与集体智能的原则是机制型智能（MBI）的基石。它们基于四项核心假设，明确了如何管理信息、激励和计算，以确保实现全局最优结果。

3.1 规划器公理

协调需要　　需要一个引导结构。MBI 通过规划器公理将其形式化　　：

> 规划器公理：每个稳定的系统——无论是生物、社会还是计算系统——都至少需要一个规划者（显式、隐式或涌现的），来构建制度规则、分配行动或资源，并提供反馈以维持均衡。

这是由基本不可能性定理所揭示的：若没有集中协调，设计机制以实现全局高效且不可操纵的结果，在数学上往往是不可能的（Arrow，1951年；Gibbard，1973年；Myerson，1979年；Satterthwaite，1975年）。

在 MBI 中，规划者并非集中式认知控制器，而是“制度设计者”，其职责仅是制定规则，以确保整体系统稳定性并遵循目标。

3.2 赫维茨式机制设计

MBI 运用机制设计原则，解决赫维茨式激励问题——局部优化的智能体无法与全局目标保持一致的问题（Hurwicz & Reiter, 2006年）。

关键组成部分：

- 制度角色：规划者定义全局损失函数（$\mathcal{L}_{\text{全局}}$），并通过 D-DAG 构建智能体交互。其任务不是预测，而是机制设计。
- 激励相容性（IC）：该机制确保智能体出于自身利益、旨在最大化局部效用的行动，同时也能实现预期的全局结果。
- 成本假设（赫维茨式约束）：规划者掌握关于每个智能体边际成本（λ_i）的可验证知识，这是计算最优全局结果所必需的。虽然智能体掌握私有的操作知识（w_i），但由于存在隐性信息，完全掌握成本通常难以实现。MBI 将该机制扩展为贝叶斯激励相容（BIC），根据智能体类型的概率分布来设定激励。实证验证（附录 C.17）表明，使用期望成本（$E[\lambda_i]$）能够有效减轻全局损失。

- MBI 解决方案：在凸行动空间、可微成本和全局损失的假设下，该机制通过解析推导出分布式规划者机制（DPM），在赫维茨式约束下实现 VCG 等价性（Clarke, 1971年；Groves, 1973年；Vickrey, 1961年）。这确保智能体如实报告成本，且其局部行动（$\mathbf{x}_i^*$）与 $\mathcal{L}_{\text{global}}$保持一致，从而有效地充当计算协调的去中心化市场。

3.3 冯·诺依曼—摩根斯坦（VNM）效用

MBI 利用 VNM 期望效用理论，绕过认知模型难以处理的全局预测，并对不确定性下的理性行动进行形式化建模（冯·诺依曼与摩根斯坦，1944年）。

- 转变：MBI 不再预测所有可能的未来，而是利用局部私人信息（w_i）。每个智能体的行动（$\mathbf{x}_i^*$）都被视为一种彩票——根据其最佳局部知识，对结果进行概率分布。

- 理性诱导：智能体选择$\mathbf{x}_i^*$ 以最大化期望效用（$E[UA_i]$）。这为不确定性提供了一种易于处理且稳健的模型，能够高效地诱导和利用私人信息，从而解决哈耶克式信息问题。

3.4 西蒙满意化理论

MBI纳入了赫伯特·Simon的有限理性（BR）概念（Simon, 1947年, 1955年），以解决集中式认知系统中难以处理的搜索问题。

- 原理：由于资源约束，智能体无法计算出真正的最优解；一旦某个行动满足充分性标准，就会停止搜索。

- MBI 创新：计算成本（C(努力)）被明确纳入智能体的效用函数，并建模为规划努力的可微函数（例如迭代次数或搜索时间）。优化由此变为一种连续权衡：

$$E[U_{A_i}] = \mathbf{G}_i - C(\text{Effort}) \tag{1}$$

智能体会自主判断何时继续规划所需的边际成本已不再合理。这种方法能够确保资源分配在理论上高效，避免 MCTS 或动态规划等穷举搜索所导致的架构性难以处理问题，并已通过实证验证（附录 C.11）。

4 MBI 架构

4.1 可微有向无环图（D-DAG）结构

MBI 系统以 D-DAG 表示。这一架构选择由规划器公理所要求，并确保整个多智能体流程具备透明性、因果性和可微性，从而为激励对齐构建一个在数学上定义良好的环境：

- 节点（$\mathcal{N}$）：D-DAG 中的每个节点都代表一个独立的计算单元，可以是外部数据源、确定性函数，或最关键的——执行局部最大化的自主智能体（A_i）。
- 边（$\mathcal{E}$）：有向边定义了行动（$\mathbf{x}_i$）和智能体之间的信息流。其有向无环特性确保计算顺序定义明确，并支持无歧义地应用链式法则。

4.2 规划者与全局损失

系统由规划者（P）发起。根据赫尔维茨原则，其职责被有意设定得十分有限。规划者的职能仅限于：

1. 定义结构（D-DAG）。2. 定义全局损失函数（$\mathcal{L}_{\text{global}}$）：在 D-DAG 的终端节点处计算 $\mathcal{L}_{\text{global}}$，它代表系统的最终目标（例如，最小化总成本、最大化输出吞吐量）。

规划者的目标是找到能够使该损失在全局范围内最小化的行动集合 $\mathbf{X} = \{\mathbf{x}_1, \dots, \mathbf{x}_N\}$。

4.3 可微价格机制（DPM）

DPM 是将经济学原理通过两个阶段的过程——前向传播和反向传播——转化为连续计算的核心机制。

4.3.1 前向传播：行动与结果生成

在前向传播中，智能体依据机制的结构选择行动，这些行动共同决定实现结果或全局损失。

当智能体 A_i 接收到当前输入（来自前序节点/智能体）后，流程便开始。智能体根据这些输入及其私人信息（w_i），计算出其最优行动 $\mathbf{x}_i^*$，使其期望效用最大化 $E[U_{A_i}]$（定义见第 3.3 节）。随后，行动 $\mathbf{x}_i^*$ 沿 D-DAG 向前传递，最终计算出全局损失 $\mathcal{L}_{\text{global}}$。

$$\mathcal{L}_{\text{global}} = f(\mathbf{x}_1^*, \mathbf{x}_2^*, \dots, \mathbf{x}_N^*) \tag{2}$$

4.3.2 反向传播：激励信号的计算

反向传播将链式法则转化为动态且信息丰富的激励信号$\mathbf{G}_i$，并通过 D-DAG 向后传递每个智能体的行动对全局损失造成的边际影响。

这些激励信号既不是通常意义上的奖励，也不像标准深度学习那样用于更新网络权重。相反，它们精准地编码了每个智能体对全局目标的贡献，引导追求自身利益的行动自然地与规划者的目标对齐。实际上，DPM 将全局优化转化为局部引导，确保实现机制对齐，而非预测拟合。

4.3.3 梯度作为激励信号

激励信号 $\mathbf{G}_i$ 在数学上定义为全局损失相对于智能体输出行动 $\mathbf{x}_i$的负边际梯度：

$$\mathbf{G}_i = -\frac{\partial \mathcal{L}_{\text{global}}}{\partial \mathbf{x}_i} \tag{3}$$

- 外部性内化的经济学解释：术语 $^{\partial \mathcal{L}}_{\text{全局}\,\partial \mathbf{x}_i}$ 表示精确的边际外部性，即智能体的局部行动 $\mathbf{x}_i$发生微小变化时，对全局目标造成的成本（或收益）。通过将 $\mathbf{G}_i$ 设为该成本的负值，DPM 提供了一个信号，该信号与智能体为最小化全局损失所贡献的全局价值恰好成正比，从而迫使智能体将其行动产生的所有外部性内化。

4.3.3.1 Hurwicz 式激励相容

连续的、基于梯度的信号通过使智能体的局部激励与全局目标保持一致，保证了 Hurwicz 式激励相容。

由于智能体的局部最大化要求其选择能够最大化其效用的$\mathbf{x}_i^*$ $U_{A_i} = \mathbf{G}_i - C(\text{努力})$，且$\mathbf{G}_i$是 $\mathcal{L}_{\text{global}}$的负梯度：

$$\underset{\mathbf{x}_i}{\text{argmax}}(U_{A_i}(\mathbf{x}_i)) \equiv \underset{\mathbf{x}_i}{\text{argmax}} \left(-\frac{\partial \mathcal{L}_{\text{global}}}{\partial \mathbf{x}_i} - C(\text{Effort}) \right) \tag{4}$$

这种局部最大化在数学上等价于为规划者求解全局优化问题，引导系统朝着 $\mathcal{L}_{\text{global}}$的全局最小值方向沿最陡下降方向前进，确保智能体的自身利益在结构上与规划者的目标保持一致。

4.3.4 高信息量反馈

激励信号 $\mathbf{G}_i$ 是一个与行动 $\mathbf{x}_i$维度相同的向量（或张量）。它提供高信息量反馈信号，明确指出为降低全局损失，$\mathbf{x}_i$ 的每个分量需要改变的确切方向和幅度。这比标准强化学习中通常使用的低信息量标量奖励信号更丰富，也更具可操作性。

4.4 MBI 优化周期

MBI 框架建立了一个完整的闭环过程，取代了传统的迭代规划周期：

1. 规划者进行配置：定义 D-DAG 和 $\mathcal{L}_{\text{global}}$。 2. 智能体采取行动（前向传播）：每个智能体 A_i 都会利用收到的 $\mathbf{G}_i^{\text{prev}}$ ，在满意化条件（最佳响应）的约束下，计算其最优的效用最大化行动 $\mathbf{x}_i^*$。该行动旨在最大化局部效用，直至努力的边际成本等于边际激励收益 $\left(\frac{\partial U_{A_i}}{\partial \mathbf{x}_i} \leq 0 \right)$。

3. 机制进行计算（反向传播）：通过反向传播（DPM）计算 $\mathbf{G}_i$ 信号：

$$\mathbf{G}_i = -\frac{\partial \mathcal{L}_{\text{global}}}{\partial \mathbf{x}_i^*} \tag{5}$$

该计算通过将激励设为边际外部性的负值，确保占优策略激励相容（DSIC）。

4. 激励发放：计算得出的激励 $\mathbf{G}_i$ 会发放给智能体，从而更新其下一周期的期望效用。

5. 系统更新：系统状态随之更新，随后循环重复，持续推动集体行动趋向 $\mathcal{L}_{\text{global}}$ 的最小值。

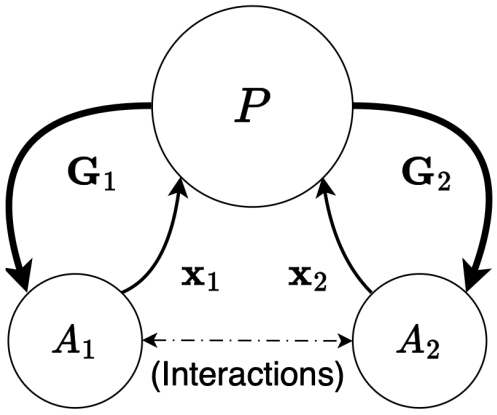

图 1：原子化 MBI 架构与 DPM。该图展示了规划者（P）与两个智能体（A_1、A_2）之间最简的闭环交互。前向传播记录智能体动作（$\mathbf{x}_i$），而反向传播则通过 DPM 分发激励信号 $\mathbf{G}_i = -\nabla \mathcal{L}$），以使局部优化与全局最优解保持一致。

4.5 计算复杂度与扩展性

与其他方法相比，MBI 架构具有显著的计算优势。由于 D-DAG 结构确保反向传播（DPM）只需在每个智能体处进行局部梯度计算，因此总体复杂度随智能体数量线性增长，$O(N)$。这与经典集中式规划或无模型强化学习形成鲜明对比：后者的计算复杂度往往会随着智能体数量和状态-动作空间的规模呈指数级增长。值得注意的是，MBI 避开了去中心化部分可观测马尔可夫决策过程（Dec-POMDP）框架固有的组合复杂性（Bernstein、Givan、Immerman 和 Zilberstein，2002年），为传统多智能体协调问题已被证明难以处理的情形提供了可行的解决方案（附录 C.5）。这种线性扩展性对于将 MBI 应用于大规模多智能体协调问题至关重要。

5 玩具示例：双智能体装配线

为阐明抽象的机制设计原则，本文以一个简化的顺序式双智能体制造任务为例，展示其操作框架。该示例说明了 MBI 如何通过微分机制来执行具备数学保证的激励结构，从而取代集中式规划。

5.1 系统设置与规划器目标

规划者（P）负责监督由两个专门化智能体 A_1和 A_2参与的顺序装配流程。系统的架构是一个简单的 D-DAG： A_1 生成中间输出$\mathbf{x}_1$，，并将其作为 A_2的输入；随后， A_2生成用于计算损失的最终输出。

5.1.1 智能体与行动

- A_1 （规划智能体）：选择第一个组件的尺寸 $\mathbf{x}_1 \in \mathbb{R}$。
- A_2 （细化智能体）：选择最终调整量 $\mathbf{x}_2 \in \mathbb{R}$。

5.1.2 全局损失函数

规划者将目标定义为最小化目标产出（Y^*）的误差成本与$\mathbf{x}_1$所引入的固有低效成本之和：

$$\mathcal{L}_{\text{global}}(\mathbf{x}_1, \mathbf{x}_2) = (\mathbf{x}_1 + \mathbf{x}_2 - Y^*)^2 + \lambda \mathbf{x}_1^2 \tag{6}$$

其中， Y^* 是目标值， $\lambda > 0$ 是惩罚系数（例如，大型组件的资源成本）。通过最小化 $\mathcal{L}_{\text{global}}$来求得最优解。

5.2 智能体理性与效用

每个智能体都是理性的效用最大化实体。它的行动 $\mathbf{x}_i^*$ 由最大化其局部效用来决定；根据西蒙约束，局部效用会平衡外部奖励与内部努力：

$$E[U_{A_i}] = \mathbf{G}_i - C(\text{Effort} \mid \mathbf{x}_i) \tag{7}$$

为说明激励相容，假设智能体处于接近最优的状态，此时$C(\text{努力})$ 暂时保持不变（为简化说明），这意味着最大化$\mathbf{G}_i$ 即可最大化 $E[U_{A_i}]$。

5.3 激励计算：作为定价的反向传播

规划者通过在可微图上执行反向传播（DPM），为每个智能体计算激励信号$\mathbf{G}_i$ 。

5.3.1 智能体 A_2的直接激励（$\mathbf{G}_2$）

A_2 是最后一个智能体。其激励是损失相对于其行动$\mathbf{x}_2$的负梯度：

$$\mathbf{G}_2 = -\frac{\partial \mathcal{L}_{\text{global}}}{\partial \mathbf{x}_2} \tag{8}$$

对 $\mathcal{L}_{\text{global}}(\mathbf{x}_1, \mathbf{x}_2) = (\mathbf{x}_1 + \mathbf{x}_2 - Y^*)^2 + \lambda \mathbf{x}_1^2$ 使用链式法则：

$$\frac{\partial \mathcal{L}_{\text{global}}}{\partial \mathbf{x}_2} = 2(\mathbf{x}_1 + \mathbf{x}_2 - Y^*) \tag{9}$$

因此， A_2的激励信号为：

$$\mathbf{G}_2 = -2(\mathbf{x}_1 + \mathbf{x}_2 - Y^*) \tag{10}$$

经济学解释： A_2 收到的激励信号仅取决于其对缩小总产出与目标 Y^*之间差距的边际贡献。

5.3.2 智能体 A_1的总激励 ($\mathbf{G}_1$)：将外部性内化

A_1的行动 $\mathbf{x}_1$ 既直接影响损失（通过资源成本 $\lambda\mathbf{x}_1^2$），也间接影响损失（通过改变最终误差项）。其激励采用完整的链式法则计算，展示了 DPM 将这一外部性内化的能力：

$$\mathbf{G}_1 = -\frac{\partial \mathcal{L}_{\text{global}}}{\partial \mathbf{x}_1} \tag{11}$$

应用求和法则和链式法则：

$$\frac{\partial \mathcal{L}_{\text{global}}}{\partial \mathbf{x}_1} = \underbrace{2(\mathbf{x}_1 + \mathbf{x}_2 - Y^*) \cdot 1}_{\text{Marginal Externality (on Target Error)}} + \underbrace{2\lambda \mathbf{x}_1}_{\text{Marginal Direct Cost (on Resource Penalty)}} \tag{12}$$

因此， A_1的激励信号为：

$$\mathbf{G}_1 = -\left[2(\mathbf{x}_1 + \mathbf{x}_2 - Y^*) + 2\lambda \mathbf{x}_1\right] \tag{13}$$

机制洞见：第一项 $2(\mathbf{x}_1 + \mathbf{x}_2 - Y^*)$ 表示 A_1的选择对最终全局结果造成的外部性（在没有激励的情况下， A_1 会忽略这一点）。DPM 会精确计算这一边际影响，并将其纳入 $\mathbf{G}_1$，，迫使 A_1 将这一全局成本内化。

5.4 有限理性的作用

将计算成本 $C(\text{努力})$ 纳入智能体的效用，可确保资源得到高效分配。成本 $C(\text{努力})$ 被建模为随搜索行动所耗时间增加的函数，其中包括机会成本，即因推迟最终结果而损失的时间价值。

智能体的最优行动 $\mathbf{x}_i^*$ 由最大化效用 U_{A_i} 关于其选择 $\mathbf{x}_i$的一阶必要条件（FOC）确定。当调整行动的边际成本恰好与激励信号的边际收益相平衡时，智能体便停止进一步优化其行动：

$$\frac{\partial U_{A_i}}{\partial \mathbf{x}_i} = 0 \quad \Longrightarrow \quad \frac{\partial \mathbf{G}_i}{\partial \mathbf{x}_i} = \frac{\partial C(\text{Effort})}{\partial \mathbf{x}_i} \tag{14}$$

这种理性满意化确保只在预期的全局损失降低足以证明开支合理时，才分配资源。通过使用可微成本函数，MBI 以一种简单的方式，取代了纯认知规划（如 MTCS）中计算上难以处理的搜索，

即连续边际成本计算。因此，智能体会自主选择效率而非计算耗尽，使系统稳健且切实可行。

5.5 赫维茨式解（激励相容保证）

DPM保证两个智能体通过最大化各自的效用，共同推动系统趋向全局最优解（$\mathcal{L}_{\text{global}}$ 最小值）。当两个智能体的边际激励成本均为零时，这一结果便会实现：$\mathbf{G}_1 = 0$ 以及$\mathbf{G}_2 = 0$。

1. 设置$\mathbf{G}_2 = 0$ （局部对齐）：

$$-2(\mathbf{x}_1^* + \mathbf{x}_2^* - Y^*) = 0 \quad \Longrightarrow \quad \mathbf{x}_1^* + \mathbf{x}_2^* = Y^* \tag{15}$$

2. 设置$\mathbf{G}_1 = 0$ （通过内化实现全局对齐）：将（来自$\mathbf{G}_2$ 条件的）$\mathbf{x}_1^* + \mathbf{x}_2^* = Y^*$代入$\mathbf{G}_1$ 方程：

$$-\left[\underbrace{2(\mathbf{x}_1^* + \mathbf{x}_2^* - Y^*)}_{=0} + 2\lambda \mathbf{x}_1^*\right] = 0 \quad \Longrightarrow \quad 2\lambda \mathbf{x}_1^* = 0 \tag{16}$$

由于 $\lambda > 0$，这要求$\mathbf{x}_1^* = 0$。

MBI机制正确计算出唯一的全局最优解$\mathbf{x}_1^* = 0$ 和$\mathbf{x}_2^* = Y^*$。这在数学上验证了该可微机制能够成功地使自利智能体的行动与规划者的目标保持对齐，确保成本高昂的组件（$\mathbf{x}_1$）不被使用，并由低成本智能体（A_2）提供全部目标产出$\mathbf{Y}^*$。

这个例子展示了 MBI 如何系统地将局部激励转化为全局最优协调，而无需集中式计算（附录 C.1）。

6 结论

强大的基于大语言模型的智能体迅速发展，同时复杂多智能体协同的需求日益增长（Dafoe等，2020年），这要求人工智能领域进行范式转变。当前系统往往存在结构脆弱性，无法应对去中心化情境中的两项根本挑战：哈耶克式信息问题（获取分散的私人知识）和赫维茨式激励问题（使局部自身利益与全局目标保持一致）。要应对这些挑战，就需要建立机制，确保人工智能系统始终与人类目标保持一致。

6.1 基于机制的范式转变

自主智能体无法受到集中控制；相反，必须通过精心设计的规则和协调机制，引导它们朝着全局目标行动。这将人工智能重新定义为对竞争与合作互动的管理，并利用每个智能体独特的私人知识来实现共同目标。

MBI 提出了一种新范式，以去中心化协调博弈取代联结主义方法所追求的脆弱的单一“全知之眼”式视角。

这种范式能够保证理性结果。其架构建立在经济理论的三大支柱之上：

1. 赫维茨式机制设计：通过激励确保目标对齐。2. 冯·诺伊曼—摩根斯特恩（VNM）效用：在局部不确定性下对理性行动进行建模。3. 西蒙满意化理论：通过惩罚过度的搜索努力，确保计算受限条件下的效率和可持续的资源分配。

核心技术解决方案是可微价格机制（DPM），它计算出高信息量的激励信号，即$\mathbf{G}_i = -\frac{\partial \mathcal{L}_{\text{global}}}{\partial \mathbf{x}_i}$。这一梯度充当负外部性收费——即 A_i 的行动给其他智能体施加的边际成本——从而使该机制与 VCG 等价。作为一种动态内部价格，它确保激励相容（激励相容），使每个智能体的自身利益与全局目标保持一致。通过引导智能体高效利用其独特的局部知识，MBI 同时解决了赫维茨问题和哈耶克问题。

6.2 实证验证

MMBI 不仅在理论上严谨，在实证方面也更具优越性（附录 C）。

主要发现包括：

- 激励相容与最佳响应确认：智能体局部最优解恰好收敛至全局最优解，满足激励相容与最佳响应要求。
- 计算优势：MBI 绕过了分散式部分可观测马尔可夫决策过程固有的组合爆炸难题（Bernstein等人，2002年），其扩展性随$\mathcal{O}(N)$智能体数量线性增长。实证结果表明，它比无模型强化学习（近端策略优化） $50\times$ 更快，同时实现了完美的确定性准确率，因此非常适用于大规模去中心化协调。
- 稳健性与等价性：该机制能够适应随机性和模型设定错误，其福利结果与 VCG 等价。
- 贝叶斯扩展：该框架能够处理信息不对称，在智能体的真实成本参数未知时降低全局损失。

总之，MBI 为复杂的多智能体系统提供了一种可靠、可审计且已被证明高效的解决方案。

6.3 多学科与全球影响

除了人工智能和经济学领域，MBI 还为需要紧密协同的现实应用提供了稳健的解决方案，例如供应链物流、自动化金融市场、去中心化自治组织（DAO）以及全球可持续发展挑战（如能源电网或气候政策实施）。连续且通过数学推导得出的激励信号 $\mathbf{G}_i$ 确保了结构透明度和可审计性，并直接回应了伦理与监管方面的关切。通过明确说明每个智能体采取相应行动的依据，MBI 满足了可解释人工智能（XAI）的要求（Gunning，2017），并有助于实现可信人工智能（Ali 等，2023）。

6.4 未来工作

尽管 MBI 展现出理论严谨性和实践效率，实证分析表明，信息不对称可能使全局损失增加多达 30%（附录 C.14）。贝叶斯 MBI（BMBI）扩展通过根据规划者的信念（$E[\lambda_i]$）设定激励，缓解了这一问题。

未来研究应聚焦于：

- 非凸环境：开发相关技术，以确保局部成本函数为非凸时仍能获得全局最优解，可考虑采用信赖域优化或随机算法。
- 复杂信念结构：纳入动态的规划者信念更新，以及关于其他智能体成本的高阶信念。
- 社会技术融合：将机制扩展至人机混合系统，并结合社会学、组织设计和行为经济学的见解，以优化现实世界中的社会技术协调。

归根结底，MBI 将先进人工智能的核心挑战从认知建模转向机制设计。集体智能的衡量标准不在于单个“大脑”的规模，而在于多个“大脑”能否有效协调。因此，设计智能，就是设计能够引导自身利益与合作迈向统一全局目标的机制。

7 参考文献

Ali, S., Abuhmed, T., El-Sappagh, S., Muhammad, K., Alonso-Moral, J. M., Confalonieri, R., ... Herrera, F. (2023). 可解释人工智能（XAI）：我们已知的内容，以及实现可信人工智能尚需达成的目标。*Information Fusion*，*99*，101805。https://doi.org/10.1016/j.inffus.2023.101805Arbuzov, M. L., Shvets, A. A., & Bei, S. (2025). 超越指数衰减：重新思考大语言模型中的误差累积。*arXiv* 预印本 *arXiv:2505.24187*。摘自https://arxiv.org/abs/2505.24187Arrow,K. J. (1951). 《社会选择与个人价值》。纽约：John Wiley & Sons。Bernstein, D. S., Givan, R., I mmerman, N., & Zilberstein, S. (2002). 马尔可夫决策过程分散式控制的复杂性。*Mathematics of Operations Research*，*27*(4), 819–840。Berti, L., Giorgi, F., & Kasneci, G. (2025). 大语言模型中的涌现能力：综述。*arXiv* 预印本 *arXiv:2503.05788*。摘自https://arxiv.org/abs/2503.05788Clarke, E. H. (1971). 公共物品的多部制定价。*Public Choice*，*11*(1), 17–33。Conitzer, V., & Sandholm, T. (2003). 自动化机制设计：源自单智能体情境的复杂性结果。第五届电子商务国际会议（*ICEC '03*）论文集，17–24。纽约，美国：计算机协会（ACM）。Dafoe, A., Hughes, E., Bachrach, Y., Collins, T., McKee, K. R., Leibo, J. Z., ... Graepel, T. (2020). 合作式人工智能中的开放问题。*arXiv* 预印本 *arXiv:2012.08630*。摘自https://arxiv.org/abs/2012.08630

Dütting, P., Feng, Z., Narasimhan, H., Parkes, D. C., & Ravindranath, S. S. (2022). 通过深度学习实现最优拍卖：可微经济学的进展。arXiv 预印本 arXiv:1706.03459。摘自 https://arxiv.org/abs/1706.03459 Finn, C., & Levine, S. (2017). 用于规划机器人运动的深度视觉前瞻。2017 IEEE机器人与自动化国际会议（ICRA），2786–2793。IEEE。https://doi.org/10.1109/ICRA.2017.7989324 Gibbard, A. (1973). 投票机制的操纵：一般性结果。《计量经济学》，41(4)，587–601。Groves, T. (1973). 团队中的激励。《计量经济学》，41(4)，617–631。Gunning, D. (2017). 可解释人工智能（XAI）。Hayek, F. A. (1945). 知识在社会中的运用。《美国经济评论》，35(4)，519–530。Hurwicz, L. (1972). 关于信息分散化系统。载于 C. B. McGuire & R. Radner（编），《决策与组织：纪念雅各布·马尔沙克文集》（第297–336页）。北荷兰出版公司。Hurwicz, L., & Reiter, S. (2006). 经济机制设计。剑桥大学出版社。Kitano, H., & Hendler, J. A.（编）(1994). 大规模并行人工智能。麻省理工学院出版社。Kitano, H., Tambe, M., Stone, P., Veloso, M., Coradeschi, S., Osawa, E., ... Asada, M. (1998). RoboCup 97合成智能体挑战赛。载于《计算机科学讲义》第1395卷，《RoboCup-97：机器人足球世界杯 I》（第62–73页）。施普林格，柏林，海德堡。https://doi.org/10.1007/3-540-64473-3_49 LeCun, Y. (2022). 迈向自主机器智能之路。OpenReview。LeCun, Y. (2023). 我曾声称，自回归大语言模型…… [领英帖子]。摘自 https://www.linkedin.com/posts/yann-lecun_i-have-claimed-that-auto-regressive-llms-activity-7045908925660950528-hJGk/ Levine, S. (2021). 通过行动理解世界。arXiv 预印本 arXiv:2110.12543。摘自 https://arxiv.org/abs/2110.12543 Marcus, G. (2018). 深度学习：批判性评估。arXiv 预印本 arXiv:1801.00631。摘自 https://arxiv.org/abs/1801.00631 Maskin, E. S., & Sjöström, T. (2002). 实施理论。载于《社会选择与福利手册》（第1卷，第237–288页）。阿姆斯特丹：北荷兰。McCulloch, W. S., & Pitts, W. (1943). 神经活动中内蕴观念的逻辑演算。《数学生物物理学通报》，5(4)，115–133。Myerson, R. B. (1979). 激励相容性与议价问题。《计量经济学》，47 (1)，61–73。Myerson, R. B. (1981). 最优拍卖设计。Mathematics of Operations Research，6(1)，58–73。Newell, A., Shaw, J. C., & Simon, H. A. (1959). 一般问题求解程序报告。国际信息处理会议论文集，256–264。Polanyi, M. (1966). 默会维度。劳特利奇与基根·保罗出版社。Satterthwaite, M. A. (1975). 策略无关性与阿罗条件：投票程序和社会福利函数的存在性与对应定理。《经济理论杂志》，10(2)，187–217。Shojaee*, P., Mirzadeh*, I., Alizadeh, K., Horton, M., Bengio, S., & Farajtabar, M. (2025).

思考的幻象：透过问题复杂性的视角理解推理模型的优势与局限。*NeurIPS*。取自 https://arxiv.org/abs/2506.06941Silver, D., Singh, S., Precup, D., & Sutton, R. S. (2021). 奖励已足够。人工智能，*299*，103535。 https://doi.org/10.1016/j.artint.2021.103535Simon, H. A. (1947年)。行政行为：行政组织中决策过程的研究。麦克米伦公司。Simon, H. A. (1955年)。理性选择的行为模型。《经济学季刊》，*69*(1)，99–118。Simon, H. A. (1957年)。人类模型：社会与理性：社会情境中理性人类行为的数学论文。纽约，纽约州：威利出版社。Smith, A. (1776年)。国民财富的性质和原因的研究。W. Strahan；T. Cadell。Stone, P. (2000年)。多智能体系统中的分层学习：机器人足球的制胜之道。麻省理工学院出版社。Vickrey, W. (1961年)。反投机、拍卖与竞争性密封投标。《金融学杂志》，*16*(1)，8–37。Von Neumann, J., & Morgenstern, O. (1944年)。博弈论与经济行为。普林斯顿大学出版社。Weiss, G. (编). (2000年)。多智能体系统：分布式人工智能的现代方法。麻省理工学院出版社。

8 附录

本附录提供了基于机制的智能（*MBI*）框架的完整技术文档。A 节概述该机制。B 节给出了激励相容性（IC）、有限理性（BR）和贝叶斯激励相容性（BIC）的正式数学推导。C 节概述实证验证。D 节讨论可复现性。

8.1 符号约定

表 1 汇总了本附录中使用的符号。粗体符号表示向量，非粗体符号表示标量。

表 1：符号约定

符号	含义	上下文
$C_i(\mathbf{x}_i)$	表示……的经济成本 智能体 A_i 的行动。	用于 $\mathcal{L}_{\text{global}}$，以及计算 激励相容。
$\kappa(T)$	表示内部计算 成本或努力。	用于正式满意化 有界理性（BR） 条件，其中 T 是努 力水平。

8.2 A：MBI 概述

A 节概述了 MBI 的关键组成部分及其运行逻辑，以便快速进行技术评估。机制的核心要素列于表 2。

8.2.1 A.1核心机制

MBI 框架将集体智能定义为理性协调所产生的涌现属性。系统采用可微价格机制（*DPM*），使受计算能力限制的自主智能体的自身利益与规划者定义的全局目标保持一致。

表 2：MBI机制的核心组件

组件	描述	经济原理
规划者（P）	定义全局损失 $\mathcal{L}_{\text{global}}$ 以及可微导向无环图（D-有向无环图）结构（编码了信息和因果依赖关系在智能体之间）。它的作用仅限于制度层面：它定义机制，但不进行优化。	Hurwicz 式激励相容-性
智能体（A_i）	一个理性的冯·诺依曼-摩根斯坦行动者，最大化局部效用 (U_{A_i}). 它拥有私人知识（w_i）。	冯·诺依曼-摩根斯坦期望效用理论
效用函数（U_{A_i}）	$U_{A_i} = \mathbf{G}_i - \kappa(T)$。It 平衡外部激励（$\mathbf{G}_i$）与内部计算成-本（$\kappa$）。	西蒙有限理性（满意化）
激励 $\mathbf{G}_i$	核心对齐信号，推导得出 as the 负向边际梯度的全局损失相对于智能体的行动（$\mathbf{x}_i$）。	可微价格机制（DPM）

该框架在数学上保证：

1. 激励相容性（IC）：$\text{argmax} U_{A_i}(\mathbf{x}_i)$ 对应于 $\text{argmin} \mathcal{L}_{\text{global}}$（参见 $\mathbf{x}_i$ $\mathbf{x}_i$B.3 节）。2. 有限理性（BR）：通过满意化条件实现可证明高效的资源分配；当边际成本超过边际收益时停止搜索（参见 B.4 节）。

8.2.2 A.2 算法

算法 1 MBI 优化循环

要求： 全局损失函数 $\mathcal{L}_{\text{global}}(\mathbf{x})$，D-DAG，智能体私有信息 w

1: 初始化智能体行动 $\mathbf{x}^{(0)}$；计算努力 $T = 0$； $\mathcal{L}^{\text{old}}_{\text{global}} = \infty$
2: **当** $\mathcal{L}^{\text{old}}_{\text{全局}} - \mathcal{L}^{\text{new}}_{\text{全局}} > \epsilon$ **或者** $||\nabla \mathcal{L}_{\text{global}}|| > \tau$ **执行** ▷ 连续的智能体-规划器迭代直至收敛；同时实施激励相容和最佳响应
3: 前向传播：
4: 对于拓扑序中的每个智能体 A_i
5: $\mathbf{x}_i^{(t)} = \text{argmax}_{\mathbf{x}_i} \left(\mathbf{G}_i(\mathbf{x}_i) - \kappa(T)\right)$ ▷ 优化由 IC 驱动，旨在实现局部效用最大化。 ▷ $\kappa(T)$ 表示内部成本：例如，计算时间、内存，或搜索步数。
6: **若**边际效用 $\frac{\partial \mathbb{E}[U_{A_i}|w_i]}{\partial T} \leq 0$ **则** ▷ 满意化检查（最佳响应：期望以智能体的私人信念为条件）
7: 在 T^* 处停止搜索
8: **结束 if**
9: 集体行动 $\mathbf{x}^{(t)} = \{\mathbf{x}_1^{(t)}, \ldots, \mathbf{x}_N^{(t)}\}$ 已执行
10: 计算全局损失： $\mathcal{L}^{\text{new}}_{\text{全局}} = \mathcal{L}_{\text{global}}(\mathbf{x}^{(t)})$
11: 反向传播：
12: 对逆拓扑序中的每个智能体 A_i
13: 计算激励信号：$\mathbf{G}_i = -\frac{\partial \mathcal{L}^{\text{new}}_{\text{全局}}}{\partial \mathbf{x}_i^{(t)}}$ ▷ DPM 信号：边际负外部性，等价于全局损失的梯度。
14: 将 $\mathbf{G}_i$ 传递给 A_i，更新智能体对于 $t+1$ 的效用
15: $\mathcal{L}^{\text{old}}_{\text{全局}} \leftarrow \mathcal{L}^{\text{new}}_{\text{全局}}$
16: **结束 while 循环**

确保： 最优激励相容行动 $\mathbf{x}^*$

MBI 作为一个连续的闭环经济系统运行：

- 前向传播（第 5–11 行）：智能体通过最大化局部效用来计算行动 $\mathbf{x}_i^{(t)}$，这等同于求得全局最优解（激励相容驱动的优化）。满意化检查（第 8–10 行）严格执行有限理性（BR）：当边际计算成本超过边际预期激励收益时，停止内部优化（见 B.4 节）。

- 反向传播（第 13–15 行）：规划者在 D-DAG 上使用反向传播来计算激励 $\mathbf{G}_i$，该激励作为边际负外部性信号，在局部执行 VCG 原理。

- 迭代：持续更新激励，直至激励相容（IC）与有限理性（BR）共同确保收敛至全局最优解。

详细讨论前向传播和反向传播的内容（DPM），请参阅论文正文第 4.3 节。

8.2.3 A.3 局限性

虽然 MBI 提供了强有力的理论保证，但其成功实施依赖若干关键假设，这些假设限制了它在某些现实场景中的实际适用性。首先，核心机制 DPM 从根本上依赖全局损失函数（$\mathcal{L}_{\text{global}}$）和所有成本函数（$C_i(\mathbf{x}_i)$）具备二阶连续可微性（$C^2$ 光滑性），而这一条件在具有离散行动或不连续奖励的系统中可能并不成立。其次，全局收敛的保证（见 B.6 节）要求全局损失函数具有严格凸性；在复杂的非凸系统中，该机制可能只会收敛到局部最小值。最后，贝叶斯 MBI（BMBI，见 B.5 节）的扩展假设规划者能够获得关于智能体私人类型的正确先验分布 $f(\lambda_i)$，但在深度不确定性或重大新颖性情况下，这一条件往往无法满足。这些局限并未削弱 MBI 的理论有效性，而是界定了其实际部署的边界。

8.3 B：MBI 激励相容性（IC）、有限理性（BR）和贝叶斯激励相容性（BIC）的形式化推导

本节对 MBI 的核心主张——激励相容性（IC）、有限理性（BR）和贝叶斯激励相容性（BIC）——进行形式化的数学论证。

8.3.1 B.1 正则性条件与核心假设

8.3.1.1 B.1.1 系统与智能体域定义

- 行动空间（$\mathcal{X}$）：智能体的行动 $\mathbf{x}_i$ 属于其行动空间 $\mathcal{X}_i$。总联合行动空间 $\mathcal{X}$ 是 $\mathbb{R}^k$ 的非空、凸且紧子集。
- 智能体效用：智能体对激励信号 $\mathbf{G}_i$具有拟线性效用，这意味着总效用可线性地分解为激励信号和行动成本。
- 信息：在 DSIC 情形下（定理 1），智能体的成本 $C_i(\mathbf{x}_i)$ 属于独立私人价值（IPV），只有智能体 A_i知晓。

8.3.1.2 B.1.2 形式化假设

8.3.1.2.1 假设 1：系统正则性（可微性与有界性）

全局损失函数 $\mathcal{L}_{\text{global}}(\mathbf{X})$ 定义为系统损失与所有个体成本之和：$\mathcal{L}_{\text{global}}(\mathbf{X}) = \mathcal{L}_{\text{System}}(\mathbf{X}) + \sum_{j=1}^{N} C_j(\mathbf{x}_j)$。

- C^2 连续性：$\mathcal{L}_{\text{全局}}(\mathbf{X})$ 关于所有智能体行动 $\mathbf{X} \in \mathcal{X}$二阶连续可微（$C^2$）。这确保激励梯度 $\mathbf{G}_i$ 存在，并满足稳定性所需的二阶条件。
- 有界性：全局损失函数 $\mathcal{L}_{\text{全局}}(\mathbf{X})$ 有下界，以确保全局最小值$\mathbf{X}^*$的存在。

- 注意：计算成本项 $\kappa(T)$ 仅影响智能体的局部优化（定理2），不会纳入全局损失函数 $\mathcal{L}_{\text{全局}}$。

8.3.1.2.2 假设2：智能体正则性（凸性与凹性）

单个智能体的决策问题必须具有良好的性质，以确保智能体效用最大化步骤存在唯一最优解。

- 成本严格凸性：智能体的成本函数 $C_i(\mathbf{x}_i)$ 关于 $\mathbf{x}_i$ 严格凸且连续。成本 $C_i(\mathbf{x}_i)$ 具有智能体特定性，并且与 $\mathcal{L}_{\text{System}}$ 可分离。
- 效用准凹性：由于拟线性结构以及 $C_i(\mathbf{x}_i)$ 的严格凸性，智能体的效用函数 $U_{A_i}(\mathbf{x}_i) = \mathbf{G}_i(\mathbf{x}_i) - C_i(\mathbf{x}_i)$ 是准凹的（或者可视为在最优解附近为凹函数），从而保证前向传播中存在唯一局部最优解 $\mathbf{x}_i^*$。

8.3.1.2.3 假设3：激励场正则性（可积性）

DPM激励信号 $\mathbf{G}_i$ 必须是可积的，才能建立 VCG等价性（定理 1）。

- 势函数：全局损失函数 $\mathcal{L}_{\text{global}}$ 是激励场 $\mathbf{G}_i = -\nabla \mathcal{L}_{\text{global}}$ 的负势函数。

- 路径无关性：D-DAG拓扑和 C^2 连续性确保，对于智能体 A_i 的任何单边偏离，激励场 $\mathbf{G}_i$ 均具有路径无关性，从而保证 VCG 等价性所要求的积分恰当性。

8.3.2 B.2 DPM 的基本引理

可微价格机制（DPM）的存在和运行需要具备以下基础性质。令 $\mathbf{X} = \{\mathbf{x}_1, \dots, \mathbf{x}_N\}$ 为动作向量，并令 $\mathbf{X}_{-i}$ 为除 A_i 之外所有智能体的行动。

8.3.2.1 引理 1：边际收益等价性

该引理确立了智能体内部均衡的基础经济条件。它指出，智能体在其最优行动下从激励中获得的边际价值，必须恰好等于其承担的边际内部成本。

引理 *1*： 在最优行动 $\mathbf{x}_i^*$ 处，智能体效用的边际收益等于其行动的边际成本。

证明： 智能体 A_i 最大化其效用 $U_{A_i}(\mathbf{x}_i) = \mathbf{G}_{A_i}(\mathbf{x}_i) - C_i(\mathbf{x}_i)$。为求得最优值 $\mathbf{x}_i^*$，我令一阶条件（FOC）等于零：

$$\nabla_{\mathbf{x}_i} U_{A_i}\big|_{\mathbf{x}_i^*} = 0 \tag{B.1}$$

$$\nabla_{\mathbf{x}_i} \mathbf{G}_i - \nabla_{\mathbf{x}_i} C_i(\mathbf{x}_i) = 0 \implies \nabla_{\mathbf{x}_i} \mathbf{G}_i = \nabla_{\mathbf{x}_i} C_i(\mathbf{x}_i) \tag{B.2}$$

该条件指出，在局部最优处，智能体激励的边际变化必须等于行动的边际成本。

8.3.3 B.3 定理 1：可微 VCG 等价性

该定理确立了 MBI 的关键性质：个体效用最大化在数学上等价于全局损失最小化。这种对齐构成了该框架激励相容性（IC）的基础。

定理 *1*（可微 *VCG* 等价性与占优策略激励相容性（*DSIC*））：对于任何行动为 $\mathbf{x}_i \in \mathcal{X}_i$ 的智能体 A_i，在满足 B.1 中正则性条件的情况下，基于 DPM 信号 $\mathbf{G}i$ 进行效用最大化，在数学上等价于最小化全局损失，从而确保 DSIC。现在我将证明，DPM 实现了一个势函数为 $-\mathcal{L}_{\text{global}}$的势博弈。

8.3.3.1 系统定义

系统的目标是通过最小化全局损失来找到全局最优解（$\mathcal{L}_{\text{global}}$）：

$$\mathcal{L}_{\text{global}}(\mathbf{X}) = \mathcal{L}_{\text{System}}(\mathbf{X}) + \sum_{j=1}^{N} C_j(\mathbf{x}_j) \tag{B.3}$$

单个智能体的目标是最大化其局部效用（U_{A_i}）：

$$U_{A_i}(\mathbf{x}_i) = \mathbf{G}_i(\mathbf{x}_i) - C_i(\mathbf{x}_i) \tag{B.4}$$

8.3.3.2 DPM 激励与等价性证明

DPM 通过将激励信号 $\mathbf{G}i$ 设定为全局损失的负梯度，实现边际定价机制：

$$\mathbf{G}_i = -\nabla_{\mathbf{x}_i} \mathcal{L}_{\text{global}} \tag{B.5}$$

可积性论证：这种等价关系要求激励场 $\mathbf{G}i$ 是保守的（或恰当的），以确保积分与路径无关。由于 DPM 激励场$\mathbf{G}i$ 是通过标量势函数 ($\mathcal{L}_{\text{global}}$) 的梯度显式构造的，因此它必然是恰当微分形式。对于 C^2函数，这一性质由庞加莱引理正式支持，并保证每个智能体在局部都存在势函数。因此，智能体 A_i进行任何单边偏离时，激励的积分都与路径无关；这是因为$\mathbf{G}i$ 是标量势函数 ($\mathcal{L}_{\text{global}}$) 的梯度，即保守向量场，从而为积分步骤（B.6）提供了依据。

为证明等价性，需对 DPM 激励关于智能体的行动 $\mathbf{x}$进行积分$_i$：

$$\int \mathbf{G}_i(\mathbf{x}_i) d\mathbf{x}_i = \int -\nabla_{\mathbf{x}_i} \mathcal{L}_{\text{global}} d\mathbf{x}_i \tag{B.6}$$

根据多元函数微积分基本定理（对$\mathbf{x}i$应用，同时将$\mathbf{X}_{-i}$ 视为常量）：

$$\int \mathbf{G}_i(\mathbf{x}_i)d\mathbf{x}_i = -\mathcal{L}_{\text{global}}(\mathbf{X}) + \text{Constant}(\mathbf{X}_{-i}) \tag{B.7}$$

项 Constant($\mathbf{X}_{-i}$) 与智能体的行动$\mathbf{x}_i$无关。代入效用最大化问题（B.4）：

$$\underset{\mathbf{x}_i}{\text{argmax}}(U_{A_i}(\mathbf{x}_i)) = \underset{\mathbf{x}_i}{\text{argmax}}(-\mathcal{L}_{\text{global}}(\mathbf{X}) + \text{Constant}(\mathbf{X}_{-i}) - C_i(\mathbf{x}_i)) \tag{B.8}$$

由于最大化时忽略常数项，该问题等价于最小化全局损失：

$$\underset{\mathbf{x}_i}{\text{argmax}}(U_{A_i}(\mathbf{x}_i)) \equiv \underset{\mathbf{x}_i}{\text{argmin}}(\mathcal{L}_{\text{global}}(\mathbf{X})) \tag{B.9}$$

这种结构上的对齐确保 DPM 实现了 VCG 原理的可微局部近似，从而保证 DSIC。因此，该机制满足 DSIC。

8.3.4 B.4 定理 2：形式化满意化条件（BR）

该定理通过定义计算努力的最优停止条件，将 MBI 智能体的 BR 形式化。它确保智能体能够高效分配资源：当边际成本超过边际激励收益时，便停止搜索。

定理 *2*（形式化满意化条件）：在 Simon 的 BR 下运行的 MBI 智能体会在努力程度 T^* 处停止搜索；此时预期边际激励收益低于努力的边际总成本，从而确保资源分配具有可证明的效率。

这是赫伯特·西蒙的满意化原则在连续时间优化中的精确形式化。

8.3.4.1 有限理性约束（满意化）的形式化

MBI 智能体在最佳响应下运行，其形式化方式是将智能体的行动 $\mathbf{x}_i$ 视为计算努力 T 的显式函数。

$$\mathbf{x}_i(T) : [0, \infty) \to \mathcal{X}_i \quad \text{is the internal search trajectory.} \tag{B.10}$$

T 可以表示搜索深度、内部收敛容差或局部梯度步数。

关键区别在于行动的经济成本 $C_i(\mathbf{x}_i)$ （用于 $\mathcal{L}_{\text{global}}$ 和定理 1）与计算努力成本 $\kappa(T)$ 之间；后者表示搜索过程本身的成本（用于定理 2 中的有限理性）。

可微搜索轨迹 $\mathbf{x}_i(T)$ 的充分条件：

1. 可微性：假设智能体的行动路径 $\mathbf{x}_i(T)$ 关于计算努力 T连续可微。这确保了其存在性，并

确保内部导数 $^{\partial}\mathbf{x}_{\partial T^{i}}$的连续性，从而验证了链式法则的适用性。

2. 单调性：假设行动$\mathbf{x}_i(T)$相对于 T是单调的。这意味着，计算努力的增加会使行动持续朝局部最优方向移动，且不减（或不增），即 $^{\partial}\mathbf{x}_{\partial T^{i}} \neq 0$ 对于$T < T^{*}$。

智能体在 T上最大化其效用：

$$U(T) = \mathbf{G}_i(\mathbf{x}_i(T)) - \kappa(T) \tag{B.11}$$

当边际效用增益非正 $\left(\frac{\partial U}{\partial T}\big|_{T=T^*} \leq 0\right)$时，智能体会在努力程度 T^* 处停止搜索（达到满意化）。根据链式法则（由$\mathbf{x}_i(T)$的可微性保证）：

$$\frac{\partial U}{\partial T} = \frac{\partial \mathbf{G}_i}{\partial \mathbf{x}_i} \cdot \frac{\partial \mathbf{x}_i}{\partial T} - \frac{\partial \kappa}{\partial T} \tag{B.12}$$

正式满意化条件为：

$$\frac{\partial \mathbf{G}_i}{\partial \mathbf{x}_i} \cdot \frac{\partial \mathbf{x}_i}{\partial T}\bigg|_{T=T^*} \leq \frac{\partial \kappa(T)}{\partial T}\bigg|_{T=T^*} \tag{B.13}$$

8.3.5 B.5 定理3：贝叶斯激励相容性（BIC）

该定理将MBI的适用范围扩展到现实世界中的关键问题——信息不对称（隐藏的私人成本）。它证明，采用基于规划者信念的激励，可以保证如实报告在期望意义上仍是最优策略。

定理3（贝叶斯激励相容性）：在共同先验、类型相互独立且效用为拟线性的假设下，当规划者无法确定某个智能体真实的私人成本参数 λ_i（信息不对称）时，基于规划者预期信念来设定激励的贝叶斯 MBI（BMBI）扩展 $E[\lambda_i]$可确保如实报告构成贝叶斯纳什均衡（BNE），从而使预期全局损失最小化。证明采用 Myerson（1981年）的经典包络定理论证。

8.3.5.1 贝叶斯可实施性的条件

要严格实现 BIC，规划者的先验分布 $f(\lambda_i)$ 必须是所有智能体与规划者的共同知识。假设代理人类型λ_i 是从这一共同先验中独立抽取的。BMBI机制根据规划者关于类型的信念所对应的条件预期外部性来计算激励。

8.3.5.2 贝叶斯激励相容条件与证明概要

贝叶斯激励相容性要求，真实类型为 λ_i 的智能体通过报告$\hat{}$其真实类型 $\lambda_i = \lambda_i$ 来最大化其期望效用：

$$\lambda_i = \underset{\hat{\lambda}_i}{\operatorname{argmax}} \left(E_{\lambda_{-i}|\lambda_i}[U_{A_i}(\mathbf{x}_i(\hat{\lambda}_i), \lambda_i, \mathbf{G}_i(\hat{\lambda}_i))] \right) \tag{B.14}$$

如果智能体的最优行动 $\mathbf{x}_i(\lambda_i)$ 随其类型 λ_i 单调变化（单交叉条件），则满足 BIC 所需的经济条件。

> **单交叉条件（SCC）：** SCC 要求，智能体的行动 $\mathbf{x}i$ 与激励 $\mathbf{G}i$ 之间的边际替代率必须相对于智能体的类型 λ_i保持单调。这等价于效用函数在 $(\mathbf{x}i、\ \lambda_i)$ 或 $(\mathbf{G}i、\ \lambda_i)$ 上表现出递增差异。在 MBI 框架中，SCC 成立，是因为成本较高的类型偏好较低的行动分配，且边际激励随类型增加而降低。

期望转移支付的推导（Myerson支付规则）：利用智能体期望效用（B.14）的包络定理，可以通过下方积分推导出类型为 λ_i 的智能体参与并如实报告所需的最低期望信息租。该积分定义了满足 BIC 所需的期望转移支付结构。

$$\bar{\mathbf{G}}_i(\lambda_i) = \bar{\mathbf{G}}_i(\lambda_{\min}) + \int_{\lambda_{\min}}^{\lambda_i} E_{\lambda_{-i}} \left[\frac{\partial U_{A_i}(\mathbf{x}_i(\hat{\lambda}), \lambda_i, \mathbf{G}_i)}{\partial \lambda_i} \right] \mathrm{d}\hat{\lambda} \tag{B.15}$$

最优激励 $\mathbf{G}i$ 利用包络定理推导得出，以确保智能体在实现最优期望结果的同时获得所需的最低期望转移支付（信息租）。这一方法从根本上得到 Myerson引理（或机制设计中的包络定理方法）的支持，用于在拟线性效用设定下推导所需的转移支付。

通过将 BMBI激励$\mathbf{G}i$ 设为 A_i的行动$\mathbf{x}i$ 给系统其余部分造成的预期全局边际成本（预期负外部性），如实报告便成为该智能体的最优策略。因此，诚实报告构成贝叶斯纳什均衡。

8.3.6 B.6 定理4：激励相容与最佳响应下的收敛

该定理确立了系统的最终保证：激励相容（IC）与有限理性（BR）共同作用，推动整个多智能体系统趋向唯一不动点，即全局最优解。

定理4（激励相容与最佳响应下的收敛）：设$\mathbf{X}^{(t)}$ 为迭代 t时的联合行动。在满足定理 1（DSIC/支配策略激励相容性/VCG等价性）和定理2（满意化/有限理性）的条件下，只要全局损失 $\mathcal{L}_{\text{global}}(\mathbf{X})$严格凸，且成本函数满足 B.1 中的正则性条件，序列 $\{\mathbf{X}^{(t)}\}$ 就会收敛至唯一极小化解$\mathbf{X}^*$ 。

8.3.6.1 证明概要（压缩映射与单调性）

收敛证明依赖于证明 MBI 更新动力学满足在行动空间 $\mathcal{X}$ 上构成压缩映射的条件。由于该机制等价于

在严格凸势函数 $\mathcal{L}_{\text{global}}(\mathbf{X})$ 上进行分散式梯度更新（定理 1），并假设梯度 $\nabla\mathcal{L}_{\text{global}}$ 和 $\nabla C_i(\mathbf{x}_i)$ 是利普希茨连续的（这是标准的正则性条件），因此可确保行动序列 $\{\mathbf{X}^{(t)}\}$ 单调趋向 $\mathbf{X}^*$。这一单调性结合行动空间的紧致性（B.1.1），保证迭代过程收敛到唯一不动点 $\mathbf{X}^*$，其中 $\nabla\mathcal{L}_{\text{global}}(\mathbf{X}^*) = 0$。

8.3.6.2 收敛的充分条件

只要全局损失函数 $\mathcal{L}_{\text{global}}(\mathbf{X})$ 严格凸，且智能体的成本函数 $C_i(\mathbf{x}_i)$ 满足以下条件，就能保证收敛：

1. $C_i(\mathbf{x}_i)$的严格凸性：个体成本函数的严格凸性可确保整体系统损失景观为凸，从而保证智能体在给定激励$\mathbf{G}_i$的情况下，通过前向传播找到的局部最优点是唯一的，并且对该智能体而言是全局最优的。2. 梯度的利普希茨连续性：全局损失函数的梯度（$\nabla\mathcal{L}_{\text{global}}$）和成本函数（$\nabla C_i(\mathbf{x}_i)$）的梯度都必须是利普希茨连续的。此条件对于确保梯度下降步骤（包括 DPM 的反向传播和智能体的前向传播）不会越过最优点，而是沿着稳定、单调的路径趋向不动点，至关重要。

8.3.6.2.1 证明概要（收敛）

收敛结果源于这样一个事实：DPM 更新规则（公式 B.5）实际上将多智能体系统转变为一个势博弈，其中势函数为负的全局损失，$-\mathcal{L}_{\text{global}}(\mathbf{X})$。

智能体的效用最大化步骤（公式 B.8 和 B.9）等价于在 $\mathcal{L}_{\text{global}}(\mathbf{X})$ 上进行分散式协同梯度下降步骤。在严格凸性和梯度利普希茨连续的条件下，迭代执行前向（智能体行动）和反向（DPM 激励）传播，可保证收敛到唯一的全局最小值 $\mathbf{X}^*$，此时全局梯度为零：

$$\nabla_{\mathbf{X}}\mathcal{L}_{\text{global}}(\mathbf{X}^*) = 0 \tag{B.16}$$

在这个不动点处，激励带来的边际收益与每个智能体努力的边际成本恰好平衡，且没有智能体有动机偏离。

这一收敛结果与 A.2 节中描述的 DPM 前向/反向迭代传播直接对应：智能体更新行动（前向传播），规划者更新激励（反向传播），直至系统达到$\mathbf{X}^*$。

8.4 C：MBI机制验证

MBI 框架的所有实证验证汇总于表中 3.

表 3：MBI机制实证验证概要

类别	章节	实证证明概要
I. 机制 Fidelity	C.1、C.4、C.8、C.12	证明 MBI is 形式上 **VCG-等价**（C.4）。通过数值验证 核心原则：**激励 兼容性（激励相容）**和**有限理性**（**最佳响应**）（C.1）。 确认对 **cost 模型设定错误的韧性** （C.8） and 复杂**非**环境下成功运行 **正交成本函数**（C.12）。
II. 计算 and 优越性 规模	C.2, C.6, C.18	与.....进行基准比较 无模型 RL （近端策略优化），证明 MBI 是 50× **更快** and 实现**完美 确定性 准确率** (C.6). 明确验证—— 通过 $\mathcal{O}(N)$ **线性复杂度** (C.18), 展现了计算可行性 最高可达 $N = 10^{10}$ 智能体。 确认 收敛至**全局最优解** 于 $N = 100$ (C.2)。
III. 收敛 与实时动态—— 学	C.5、C.7、C.13、C.15、C.16	证明**MBI 绕过了计算 难解性** 所固有的 **Dec-POMDP** 框架（C.5）。 验证 **快速，有保证的 算法稳定性**和收敛动力学 (C.7) 并确认收敛**显然可观-可服务性**通过可视化（C.13）。 展现出最优性能于 **动态目标跟踪**（C.15）以及 验证了**个体 智能体动作**（C.16）。
IV. 泛化 与经济控制 制	C.3、C.9、C.11、C.10、C.14、C.17	验证效用 **完全 异质性 系统**(C.3) 与收敛 在具有挑战性的**非凸景观** (C.10)。展示了以下方面的最优权衡: 基于**时间机会**成本，以精度换速度 **(ρ)**(C.11)。 确认 抵御持续**随机性-性/噪声** （C.9）。**确立易受影-响性**于信息不对称（隐-藏成本）（C.14），but 证明了去-集中式**BMBI** 扩展**保证-贝叶斯激励相容性-性**（C.17），缓解了次优性。

8.5 D：可复现性

支持本文所有模拟和分析（例如附录 C）的代码已公开发布于项目的 GitHub 仓库：

[https://github.com/stevefatz95/mechanism_based_intelligence]

所有实验均使用 Python 3.10.13 和 PyTorch 2.9.0 在 Mac M4 上进行。